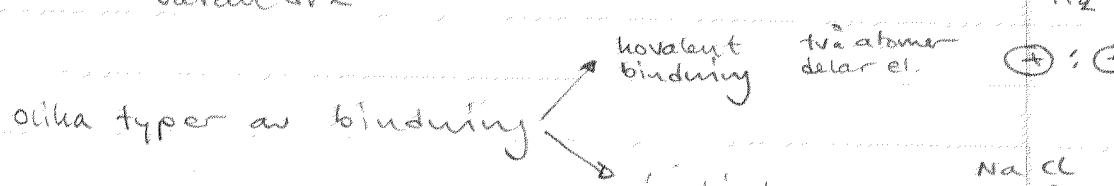


Föreläsning 18:1

①

Molekyler : två eller flera atomer bindna till varandra



Jonbindning (bra sann illustration) ex. NaCl

atomnr.

konfig.

(eV)

11 Na $1s^2 2s^2 2p^6$ ion-energi 5.1. (hostar)

17 Cl $3s^2 3p^5$

el. affinitet = 3.8 eV (höst)

$$5.1 - 3.8 = 1.3 \text{ eV} \quad (\text{skuld})$$

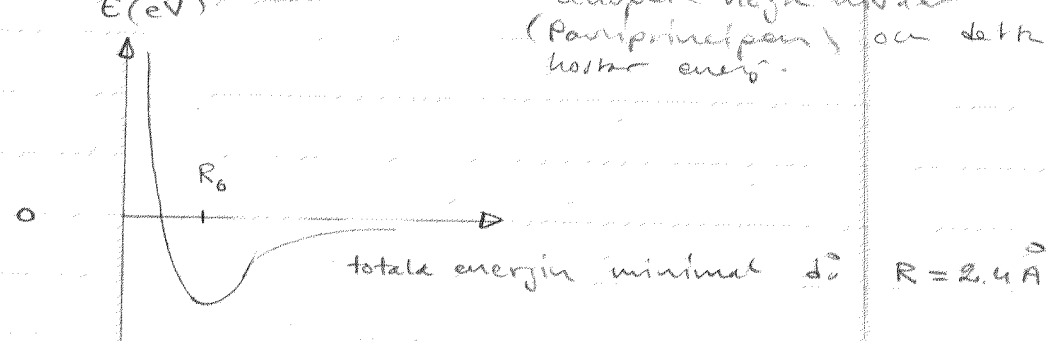


minskande avstånd mellan Θ och Θ^- ger minskande potentiell energi.

Hur nära kommer jona att vara varandra?

Svar: lagom nära!

Alltför nära = ett enda system = elektronerna måste också ha högre nivåer (Parallelnivåer) och detta kostar energi.



$$F = -\text{grad } E$$

E-R-kurvan har samma form även vid kovalent bindning.

F0

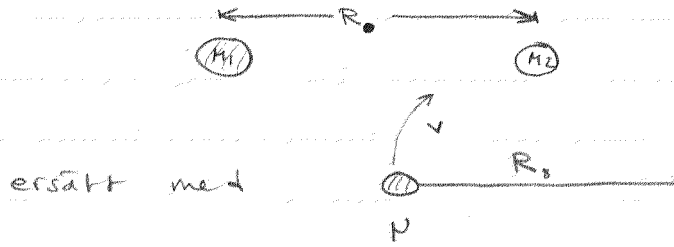
18: 2

(1 eV)

(10⁻² eV)(10⁻⁴ eV)

Excitationsmekanismer i molekyler: elektroniska
vibrationer
rotationer

Rotationer:



$$P = \frac{M_1 \cdot M_2}{M_1 + M_2}$$

$$\text{rotationsenergi} = \frac{1}{2} P v^2 = E_J$$

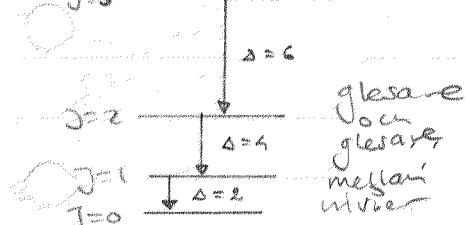
$$\text{bantimpulsmoment} : L = P v R_0 \Rightarrow v = \frac{L}{P R_0}$$

$$\Rightarrow E_J = \frac{1}{2} P \frac{L^2}{P^2 R_0^2} = \frac{L^2}{2 P^2 R_0^2} = \frac{L^2}{2 I}$$

troggets-
moment

$$I = P R^2$$

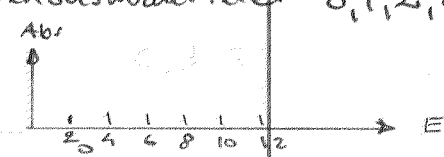
men L är kvantiserat



$$L = \sqrt{J(J+1)}$$

$$E_J = \frac{\hbar^2}{2I} J(J+1) \quad J = \text{rotationskvanttiler } 0, 1, 2, 3, \dots$$

mjliga $J(J+1) = 0, 2, 6, 12, 20, 30, 42$
skiltn. mellan grader 2 4 6 8 10 12



numeriskt exempel: CO : $R_0 = 1,17 \text{ Å}$

$$1,99 \cdot 10^{-26} \text{ kg} \quad 2,66 \cdot 10^{-26} \text{ kg} \quad I = 1,45 \cdot 10^{-46} \text{ kgm}^2$$

$$J=0 \Rightarrow E_J=0$$

$$J=1 \Rightarrow E_{J=1} = 7,66 \cdot 10^{-23} \text{ J} = 4,8 \cdot 10^{-4} \text{ eV}$$

sedan nu: $kT = 0,026 \text{ eV}$ vid $T = 300 \text{ K} = 260 \cdot 10^{-4} \text{ eV}$

rotation runt egna axel $\Rightarrow E_J \approx 1 \text{ eV}$ I titan

Vibrationer

ex. tvåatomig molekyl

 ϵ_p M_1 M_2 fler atomer: fler
molekylära möjigheter Δ R_0 R ϵ_{p_0} I närheten av R_0 gäller

$$\epsilon_p = \epsilon_{p_0} + \frac{1}{2} k (R - R_0)^2$$

$$F = -\frac{d\epsilon_p}{dR} = -k(R - R_0)$$

↑
fjäderkonstant

bestäms av el-konst.

$$\omega_0 = \sqrt{\frac{k}{\mu}}$$

Sätt in ϵ_p i Schrödingereq. och lös. $v=2$ ΔE $v=1$ ΔE $v=0$

$$\Rightarrow E_v = \text{vibr. energi} = \left(v + \frac{1}{2}\right) \hbar \omega_0$$

 $\Delta E = \text{konst}$ för
lägga v . $v = 0, 1, 2, \dots$

$$\text{höllpunktsenergi} = \frac{1}{2} \hbar \omega_0 \neq 0 \quad \text{ty} \quad E=0 \Rightarrow \Delta x=0$$

$$\Rightarrow \Delta p=0 \Rightarrow t=$$

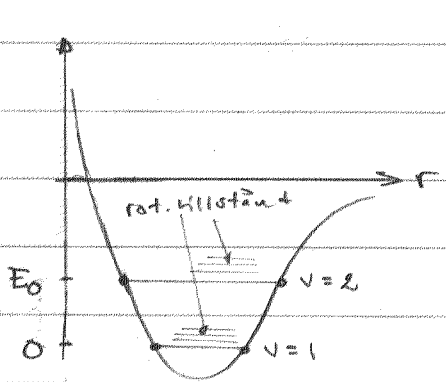
Num. ex. CO: $k = 187 \text{ N/m}$

$$E_v = \left(v + \frac{1}{2}\right) \hbar \omega_0 = \left(v + \frac{1}{2}\right) \hbar \sqrt{\frac{k}{\mu}} =$$

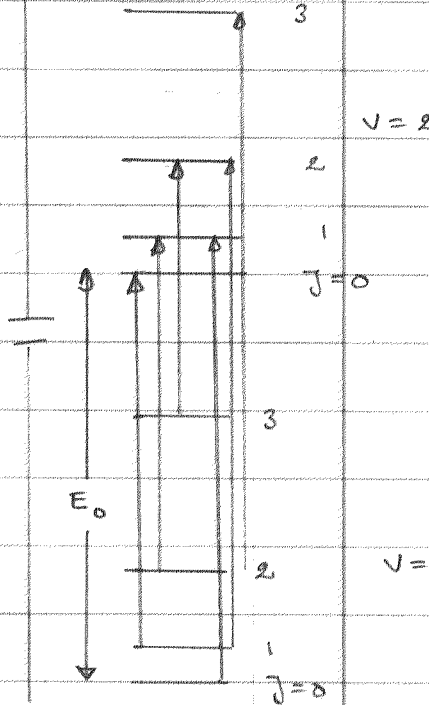
$$= \left(v + \frac{1}{2}\right) 1,75 \cdot 10^{-20} \text{ J} = \left(v + \frac{1}{2}\right) \cdot 8,44 \cdot 10^{-2} \text{ eV}$$

 $> h \cdot 300$ nästan inga vibr. exciteringar
vid rumstemperatur

För given elektronhillsstånd studerar vi nu övergångar mellan



Schematiskt



Orvalsregler vid optiska övergångar

dvs sådana som involverar

emission el. absorption av fotoner,

$$\Delta V = \pm 1, 0$$

$$\Delta J = \pm 1$$

Antag att vi studerar absorption dvs övergångar från lägre till högre energier och fokuserar på fallet $\Delta V = +1$.

Två fall:

1) $\Delta J = -1$: $V=1, J=1 \rightarrow V=2, J=0, V=1, J=2 \rightarrow V=2, J=1$ osv.

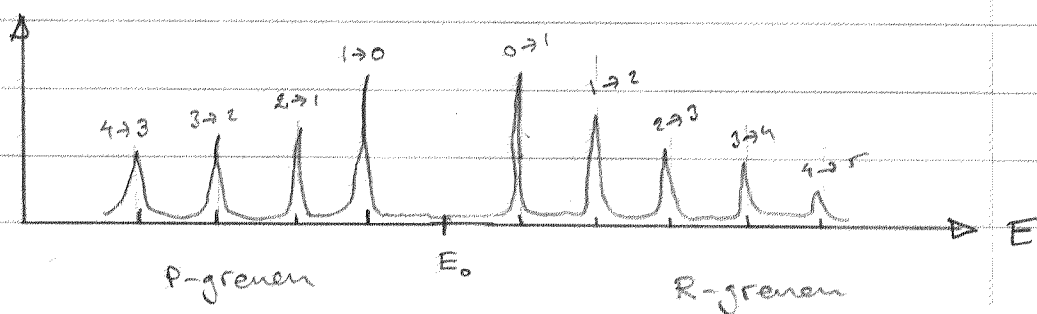
allm. med sluthillsstånd $J-1$ och beg. hillsstånd J

$$P\text{-grenen: } \Delta E_P = \left[E_0 + \frac{\hbar^2}{2I} (J-1)J \right] - \frac{\hbar^2}{2I} J(J+1) = E_0 - \frac{\hbar^2}{I} J$$

2) $\Delta J = +1$: $V=1, J=0 \rightarrow V=2, J=1, V=1, J=1 \rightarrow V=2, J=2$

allmänt: sluthillsstånd $J+1$, begynnehillsstånd J

$$R\text{-grenen: } \Delta E_R = \left[E_0 + \frac{\hbar^2}{2I} (J+2)(J+1) \right] - \frac{\hbar^2}{2I} J(J+1) = E_0 + \frac{\hbar^2}{I} J$$



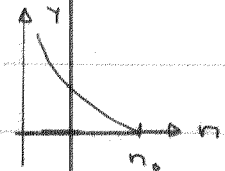
Föreläsning 10:5 (cont.)

Fördelningsfunktioner. $f(E)$

Tidigare har vi visat att partikelthäufigen i atmosfären

följer sambandet

$$n(y) = n_0 e^{-my/kT}$$



Då höjden y ökar så minskar sannolikheten för att luftmolekylene ska finnas där. Ju högre energi desto större sannolikhet.

I ett mer allmänt fall kan vi tänka oss att det på en viss energinivå E_i finns g_i olika tillstånd som har samma energi (nivån sägs vara g_i -faldigt degenererat). Antalet besatta tillstånd n_i kan nu beräknas med hjälp av Maxwell - Boltzmanns fördelningsfunktion

$$f(E_i) = \frac{n_i}{g_i} = \text{konst} \cdot e^{-E_i/kT}$$

Om två nivåer E_1 och E_2 har samma degenerationsgrad g får vi förhållandet mellan n_1 och n_2 enligt

$$n_1 = \text{konst} \cdot g \cdot e^{-E_1/kT}, \quad n_2 = \text{konst} \cdot g \cdot e^{-E_2/kT}$$

$$\Rightarrow \frac{n_1}{n_2} = \frac{g}{g} e^{-(E_1 - E_2)/kT}$$

Om vi ska räkna ut förhållandet mellan det antal väteatomer som, vid tempraturen T , befinner sig i grundtillståndet ($g_1 = 2$) och antalet som befinner sig i 1:a exciterte tillståndet ($n=2 \Rightarrow 2n^2=8$) gör vi så här:

$$n=1 : g_1 = 2, E_1 = -13,6 \text{ eV}$$

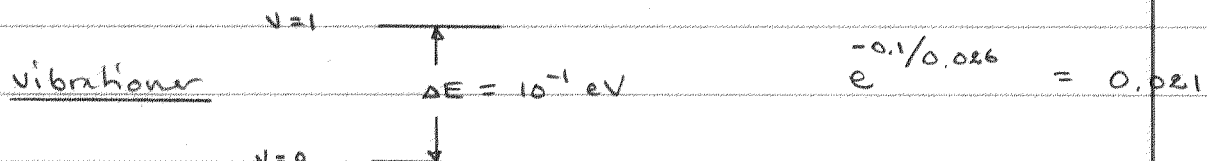
$$n=2 : g_2 = 8, E_2 = -3,4 \text{ eV}$$

$$T = 300 \text{ K} \Rightarrow kT = 1,38 \cdot 10^{-23} \cdot 300 \text{ J} = \frac{1,38 \cdot 10^{-23} \cdot 300}{1,6 \cdot 10^{-19}} \text{ eV} =$$

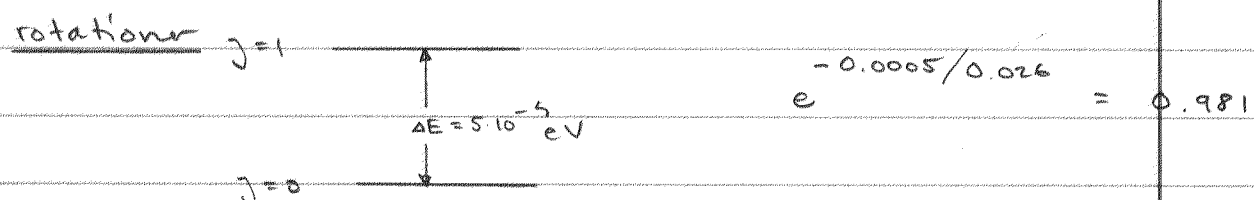
$$= 0,0259 \text{ eV} \approx \frac{1}{40} \text{ eV}$$

$$\Rightarrow \frac{n_2}{n_1} = \frac{2}{8} e^{-(-13,6 + 3,4) / 0,0259} = \frac{-10}{10} = -1$$

Äter till molekyler: rumstemps (300K)



endast 2% av molekylerna
är exciterade.



i om det 100 molekylar med
J=0 s. har ≈ 98 molekylar
J=1 osv.

"molekylerna sprids över många
rotations tillstånd."

Maxwell-Boltzmanns fördelningsfunktion är ett specialfall av Bose-Einstein fördeln. funktion. (f_{BE})

$$f(E) = \frac{1}{\text{konst} \cdot e^{E/kT} - 1}$$

f_{BE} är tillämplig på partiklar som inte lyder under Pauliprincipen. Experimentellt har man funnit att partiklar med heltaliga spinn (0 el. 1) såsom fotoner, heliumkärnor lyder f_{BE} .

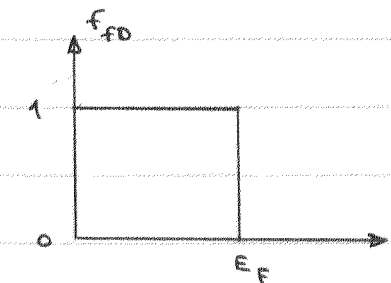
För partiklar som lyder Pauliprincipen (halvtaliga spinn) såsom elektroner, protoner, ${}^3\text{He}$ gäller Fermi-Dirac fördelningsfunktion. Elektrongasen är det fall vi kommer att förtjupa oss i.

$$f_{FD} = \frac{1}{e^{(E-E_F)/kT} + 1}$$

E_F = Fermienengrin och bestäms av villkoret $\sum n_i = N$

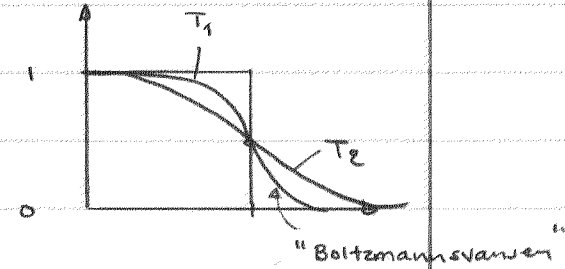
vid $T=0$ är utseendet hos f_{FD} speciellt enkelt.

Alla tillstånd upp till E_F är fullbelägna och alla tillstånd med $E > E_F$ är helt tomta.



$$T_2 > T_1 > 0$$

$$\text{Om } E \gg E_F : f_{FD} = f_{MB}$$



Tillståndstidhet för fria partiklar

Med fria partiklar menar vi sådana som rör sig under inverkan av en potential som är konstant i ^{sakta} rum som tid. Exempel på sådana är gasmolekyler och elektroner i lada.

Tillståndstidheten $D(E)$ anger hur många tillstånd det finns per energienhet dvs

$$D(E) \cdot dE$$

anger hur många tillstånd det finns i energiintervalllet $[E, E + dE]$.

För att bestämma hur många av dessa tillstånd som är besatta måste vi multiplicera med fördelningsfunktionen dvs

$$D(E) \cdot f(E) \cdot dE = N(E) \cdot dE$$

anger hur många tillstånd som är besatta i $[E, E + dE]$

$$\int_E^{\infty} N(E) dE = \text{antalet besatta tillstånd i } [0, E]$$

o om $N(E)$ är en kontinuerlig funktion, Annars summam!
klassiskt

Härledning av $D(E)$ i 1, 2 & 3 dimensioner:

För fria partiklar vet vi att $E = \frac{p^2}{2m} = \frac{\hbar^2 k^2}{2m}$ dvs $E = E_{\text{kin}} = \frac{1}{2}mv^2$
1dim:

Vi vet också att antalet tillstånd per längdenhet i k-rummet är konstant. (Se avsnittet om partikel i lada.) i en-dimens. lada

$$k = n \frac{\pi}{a} \quad \begin{array}{ccccccc} & & & & & & \\ \bullet & \bullet & \bullet & \bullet & \bullet & \bullet & \rightarrow k \end{array}$$

Avståndet mellan två tillstånd i k-rummet är $\frac{\pi}{a}$ vilket innebär att tillståndstidheten (antal tillstånd per k-enhet) ges av

$$D(k) = \frac{a}{\pi} \quad \text{om } a \text{ ökar så ökar pridensiteten} \\ \Rightarrow D(k) \text{ är konst.}$$

Längden av den lada där partiklarna är inränta (avan kallat a) brukar man även kalla L och för att förbereda en utvidgning till mer än en dimension L_x

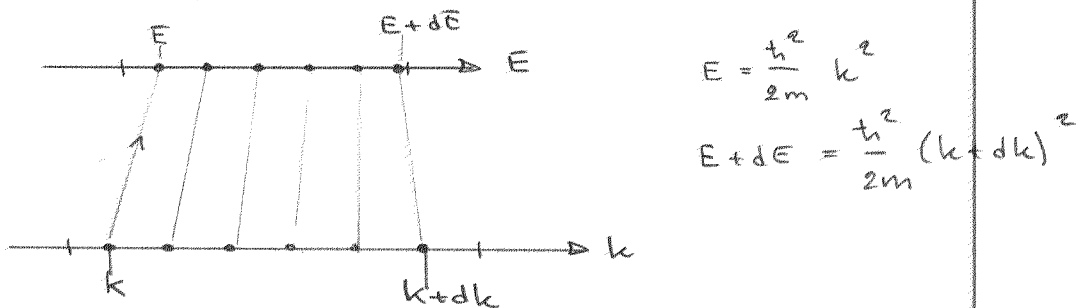
$$\therefore D(k) = \frac{L_x}{\pi}$$

Betrakta en potentiellåda med makroskopiska dimensioner. Om vi sätter in ex $L_x = 1 \text{ mm}$ i uttrycket

$$E_n = n^2 \frac{h^2}{8mL_x^2} \quad m = \text{elektronmassan} = 9,11 \cdot 10^{-31} \text{ kg}$$

finner vi att skillnaderna i energi blir oerhört små och kan inte upplösas. Detta innebär att vi för makroskopiskt uträknade laddor kan betrakta $D(E)$ som en kontinuerlig funktion.

För att åskådliggöra sambandet mellan antal tillstånd i k -och E -rummen ritar figurerne nedan med oändlig upplösning.



$$(1) \text{ Antal "prickar" i } [k, k+dk] = \text{antal prickar i } [E, E+dE]$$

Antalet prickar inom ett visst intervall får genom att dividera intervallets längd med avståndet mellan två prickar eller genom multiplikation av intervallets längd med tillståndstideten. Den senare anger ju hur många tillstånd som finns per längdenhet (i k - eller E -rummet)

"ew" (1) uttryckt, på detta sätt blir

$$\frac{\frac{L_x}{\pi}}{D(k) \cdot dk} = D(E) \cdot dE$$

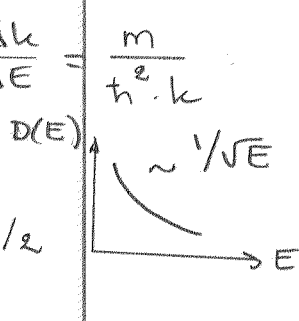
$D(k)$ känner vi och $D(E)$ vill vi beräkna.

$$D(E) = D(k) \frac{dk}{dE}$$

$$\frac{dk}{dE} : E = \frac{h^2}{2m} k^2 \Rightarrow dE = \frac{h^2}{2m} \cdot 2k \cdot dk \Rightarrow \frac{dk}{dE} = \frac{m}{h^2 \cdot k}$$

$$\text{men } k = \frac{\sqrt{2mE}}{h}$$

$$\Rightarrow D(E) = \frac{L_x}{\pi} \frac{m}{h^2 \sqrt{2mE}} = (2m)^{1/2} \frac{L_x}{h} \cdot E^{-1/2}$$



2 dim

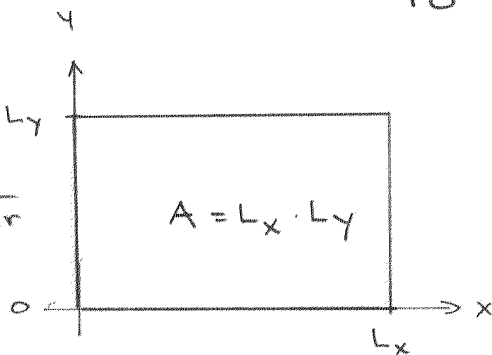
Vi har nu stängt in partiklarna i en rektangulär lada.

För de stående vågor som är tilltagna kan man visa

att

$$k_x = \frac{\pi}{L_x}, \frac{2\pi}{L_x}, \frac{3\pi}{L_x}, \dots$$

$$A = L_x \cdot L_y$$

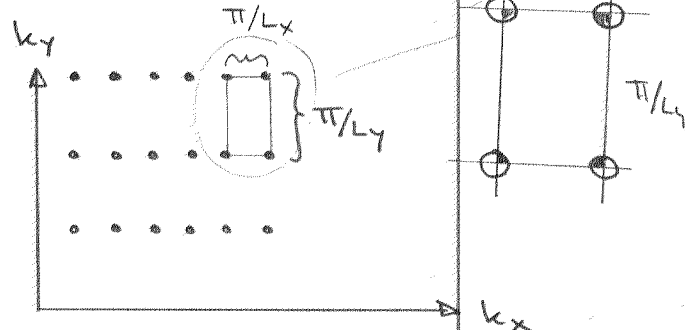


$$\text{och } k_y = \frac{\pi}{L_y}, \frac{2\pi}{L_y}, \frac{3\pi}{L_y}, \dots$$

Vilket i en figur får följande utseende:

Varje prick (tillstånd) upptar en yta i k -rummet med storleken

$$\frac{\pi}{L_x} \cdot \frac{\pi}{L_y} = \frac{\pi^2}{A}$$

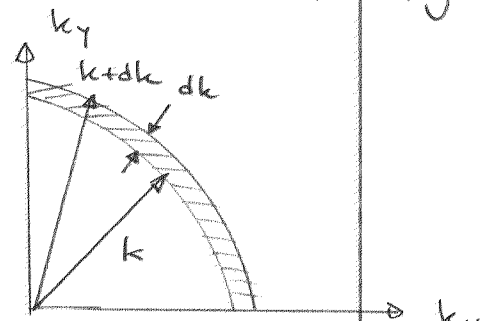


Tillståndstättheten i 2 dimensioner blir $D(k) = \frac{A}{\pi^2}$

Nu betraktar vi tillståndstättheten med mer verklig upplösning

$$E = \frac{\hbar^2}{2m} k^2 \Rightarrow \text{alla tillstånd som ligger på samma avstånd till origo har samma energi}$$

$$E = \frac{\hbar^2}{2m} k^2 \quad E + dE = \frac{\hbar^2}{2m} (k + dk)^2$$



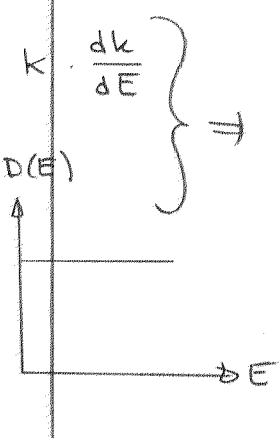
alla tillstånd i det streckade området ger tillstånd med energier i $[E, E + dE]$. Vad blir $D(E)$?

Detta område upptar arean $(2\pi k \cdot dk) \frac{1}{4} =$

$$D(k) \cdot \frac{\pi}{2} k \cdot dk = D(E) \cdot dE \Rightarrow D(E) = D(k) \frac{\pi}{2} k \cdot \frac{dk}{dE}$$

$$E = \frac{\hbar^2}{2m} k^2 \Rightarrow dE = \frac{\hbar^2}{m} k \cdot dk \Rightarrow \frac{dk}{dE} = \frac{m}{\hbar^2} \frac{1}{k}$$

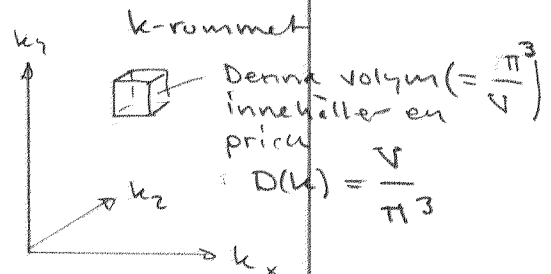
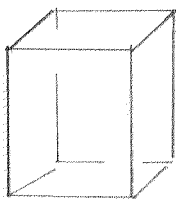
$$\Rightarrow D(E) = \frac{A}{\pi^2} \frac{\pi}{2} \frac{m}{\frac{\hbar^2}{(2\pi)^2}} = \frac{2\pi A}{\hbar^2} \cdot m = \text{kostant}$$



$$\text{Lödun: } V = L_x \cdot L_y \cdot L_z$$

För 10%:

3 dim.

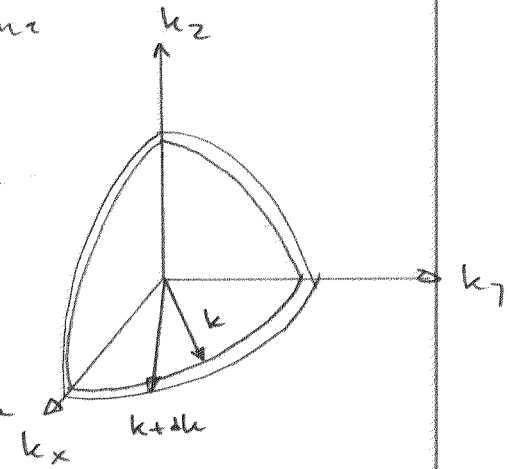


samma resonemang som i 2 dimensioner. Alla tillstånd i $(k, k+dk)$ har energier i $[E, E+dE]$

Alla tillstånd som ligger på samma avstånd från origo i k-rummet har samma energi.

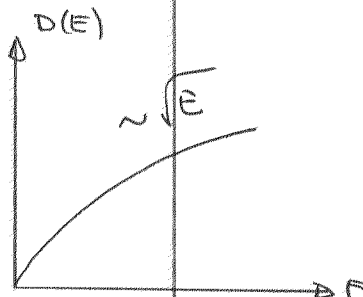
$$D(k) \cdot \frac{1}{8} 4\pi k^3 \cdot dk = D(E) \cdot dE$$

$\frac{1}{8}$ av ett sfäriskt skål med radie k och skattfjärdlek dk .



$$\text{pss som tidigare: } E = \frac{h^2}{2m} k^2 \Rightarrow dE = \frac{h^2}{m} k \cdot dk$$

$$\Rightarrow D(E) = V \cdot 2\pi \left(\frac{2m}{h^2}\right)^{3/2} E^{1/2}$$

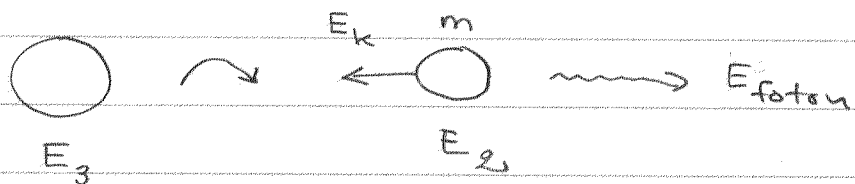


1, 2 & 3 dim:

Om varje tillstånd (i k-rummet) har plats för X partiklar multipliceras $D(E)$ med X .

För elektroner (med två möjliga spin-orienteringar) är $X=2$.

Int. uppg. 3



utan hänsgn till rörelseenergi enl. Bohrmodellen

$$E_3 - E_2 = \Delta E = 13,6 \left(\frac{1}{2} - \frac{1}{4} \right) = \frac{hc}{\lambda_0} \Rightarrow \lambda_0 = 656 \text{ nm.}$$

Med hänsgn till rörelseenergi:

$$E_3 = E_2 + E_k + \frac{hc}{\lambda} \Rightarrow E_3 - E_2 = E_k + \frac{hc}{\lambda}$$

$$\therefore \frac{hc}{\lambda_0} = E_k + \frac{hc}{\lambda} \Rightarrow E_k = \frac{hc}{\lambda_0} - \frac{hc}{\lambda}$$

Bevarande av rörelsemängd: $\bar{p}_{\text{atom}} = -\bar{p}_{\text{foton}}$

$$|\bar{p}_{\text{foton}}| = \frac{h}{\lambda}$$

$$E_k = \frac{\bar{p}_{\text{atom}}^2}{2m} = \frac{h^2}{2m\lambda^2}$$

$$\therefore \frac{hc}{\lambda_0} - \frac{hc}{\lambda} = \frac{h^2}{2mc\lambda^2} \quad \text{bilda } \frac{\Delta\lambda}{\lambda_0} = \frac{\lambda - \lambda_0}{\lambda_0} !$$

$$\frac{\lambda - \lambda_0}{\lambda_0 \lambda} = \frac{h}{2mc\lambda^2} \Rightarrow \frac{\Delta\lambda}{\lambda_0} = \frac{h}{2mc\lambda} \approx \frac{h}{2mc\lambda_0} =$$

$$= \frac{6,62 \cdot 10^{-34}}{2 \cdot 1,67 \cdot 10^{-27} \cdot 656 \cdot 10^{-9} \cdot 3 \cdot 10^8} = 1 \cdot 10^{-9}$$

Ideal gas. Maxwell-Boltzmanns forsl. fun tillämpg.

$$f(E) = c_1 \cdot e^{-E/kT} \quad D(E) = c_2 \cdot E^{1/2}$$

3 dim.

$$dN = f(E) \cdot D(E) \cdot dE = \text{antalat partiklar med } E \in [E, E+dE]$$

$$N = \int dN = \int_0^{\infty} D(E) \cdot f(E) \cdot dE = c_1 c_2 \int_0^{\infty} E^{1/2} e^{-E/kT} \cdot dE$$

$$\Rightarrow c_1 c_2 = \frac{2\pi N}{(\pi kT)^{3/2}}$$

$$\therefore dN = \frac{2\pi N}{(\pi kT)^{3/2}} E^{1/2} e^{-E/kT} dE \quad (1)$$

Medelhastigheten $\langle v \rangle$:

$$\langle v \rangle = \frac{1}{N} \int_0^{\infty} v \cdot dN = \frac{1}{N} \int_0^{\infty} v \frac{dN}{dv} \cdot dv$$

$$E = \frac{1}{2} mv^2 \Rightarrow dE = mv \cdot dv \quad \text{insätter i (1) ovan}$$

$$\Rightarrow \frac{dN}{dv} = \frac{2\pi N}{(\pi kT)^{3/2}} \left(\frac{m}{2}\right)^{1/2} \cdot v \cdot e^{-\frac{1}{2}mv^2/kT} mv \cdot =$$

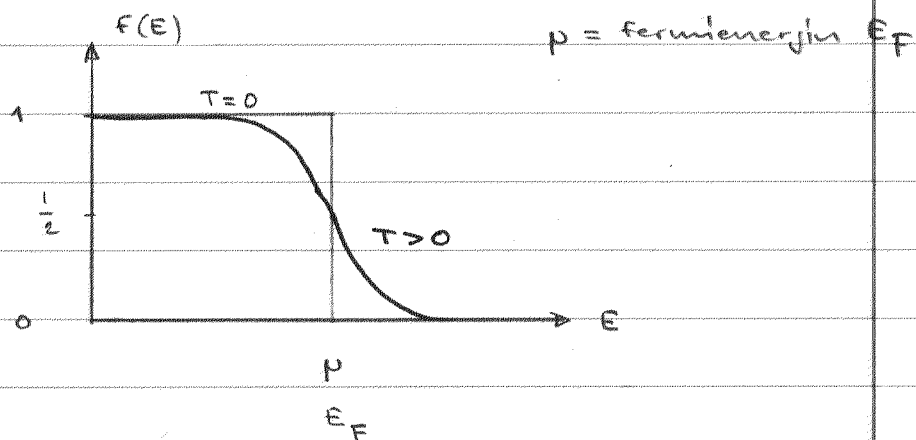
$$= 4\pi N \left(\frac{m}{2\pi kT}\right)^{3/2} v^2 \cdot e^{-\frac{1}{2}mv^2/kT}$$

$$\therefore \langle v \rangle = 4\pi \left(\frac{m}{2\pi kT}\right)^{3/2} \underbrace{\int_0^{\infty} v^3 \cdot e^{-\frac{1}{2}mv^2/kT} dv}_{\frac{1}{2}(2kT/m)^{1/2}}$$

$$\Rightarrow \langle v \rangle = \sqrt{\frac{8kT}{\pi m}}$$

Elektroner har halvtaligt spinn

Fermi-Diracs förd. funktion är av särskilt stort intresse:



Antalet partiklar dN som har energier i intervallet $[E, E + dE]$ ges av

$$N(E) \cdot dE = D(E) \cdot F(E) \cdot dE$$

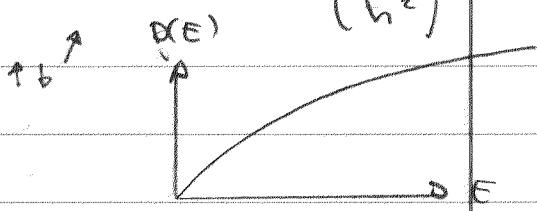
ex. Fri elektroner $V = 1 \text{ m}^3$

$$N = 1 \cdot 10^{28} \text{ el. färdar } 1 \cdot 10^{28} \text{ m}^{-3}$$

(10^{28} typiskt metallvärde)

Tre dimensioner

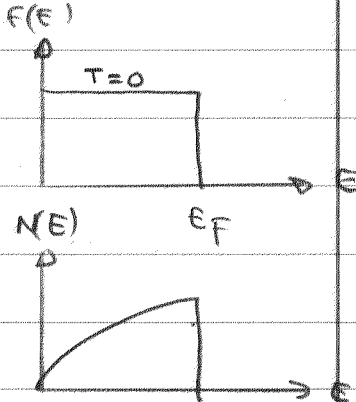
$$D(E) = e \cdot V \cdot \frac{2\pi}{h^2} \left(\frac{2m}{h^2}\right)^{3/2} E^{1/2}$$



Hur stor är E_F ?

$$N = \int_0^\infty dN = \int_0^\infty f(E) D(E) \cdot dE =$$

$$= [T=0] = \int_0^\infty D(E) \cdot dE$$



sätt in värden $\Rightarrow E_F = 1,65 \text{ eV}$

Om $T \neq 0$ påverkas varken V el. N .

Medelenergin för partiklar $\langle E \rangle$

3 dim.

Maxwell-Boltzmann

$$\langle E \rangle = \frac{0}{N} = \frac{\int_0^{\infty} E \cdot dN}{N} =$$

$$= \frac{1}{N} \int_0^{\infty} E \cdot \frac{2\pi N}{(\pi kT)^{3/2}} E^{1/2} e^{-E/kT} dE$$

$$[x = E/kT \Rightarrow \begin{cases} dE = kT \cdot dx \\ E = x \cdot kT \end{cases}]$$

$$= \frac{2\pi}{(\pi kT)^{3/2}} (kT)^{3/2} \cdot kT \int_0^{\infty} x^{3/2} e^{-x} dx$$

$$= \frac{2}{\sqrt{\pi}} \cdot kT \quad \frac{3}{4} \cdot \sqrt{\pi}$$

$$= \frac{3}{2} kT \quad \text{Hurr!}$$



Ober. av partikeltilförsel

Fermi-Dirac, $T=0$

$$\langle E \rangle = \frac{\int_0^{\infty} E \cdot dN}{\int_0^{\infty} dN} =$$

$$= \frac{\int_0^{\infty} f(E) \cdot D(E) E dE}{\int_0^{\infty} f(E) \cdot D(E) dE} = [T=0] =$$

$$= \frac{\int_0^{E_F} 1 \cdot D(E) \cdot E dE}{\int_0^{E_F} 1 \cdot D(E) dE} =$$

$$= \frac{\text{konst} \int_0^{E_F} E^{1/2} \cdot E dE}{\text{konst} \int_0^{E_F} E^{1/2} dE} =$$

$$= \frac{\frac{2}{5} \frac{5}{2} E_F^{5/2}}{\frac{2}{3} \frac{3}{2} E_F^{3/2}} = \frac{3}{5} E_F$$

Fråga: hur stor måste temp. vara för

att $\langle E \rangle_{MB} = \langle E \rangle_{FD}$ om $E_F = 3 \text{ eV}$?